

18 February 2009

融合 g 原子を用いた量子情報

光格子を用いた量子情報研究



京都大学大学院 理学研究科
物理学・宇宙物理学専攻
物理学第一分野

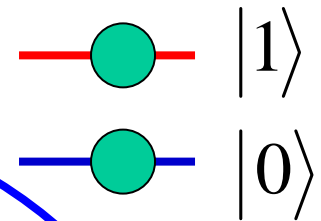
高橋義朗

Introduction

量子力学

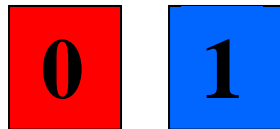
Qubit

$$|\psi\rangle = \alpha|0\rangle + \beta|1\rangle$$



量子情報

bit



情報科学

光・量子

エレクトロニクス

Outline

光格子中の超低温冷却原子を用いた量子情報研究

- 1.量子計算(Quantum Computation)
- 2.量子シミュレーション(Quantum Simulation)
- 3.量子計測(Quantum Metrology)

Quantum Computer

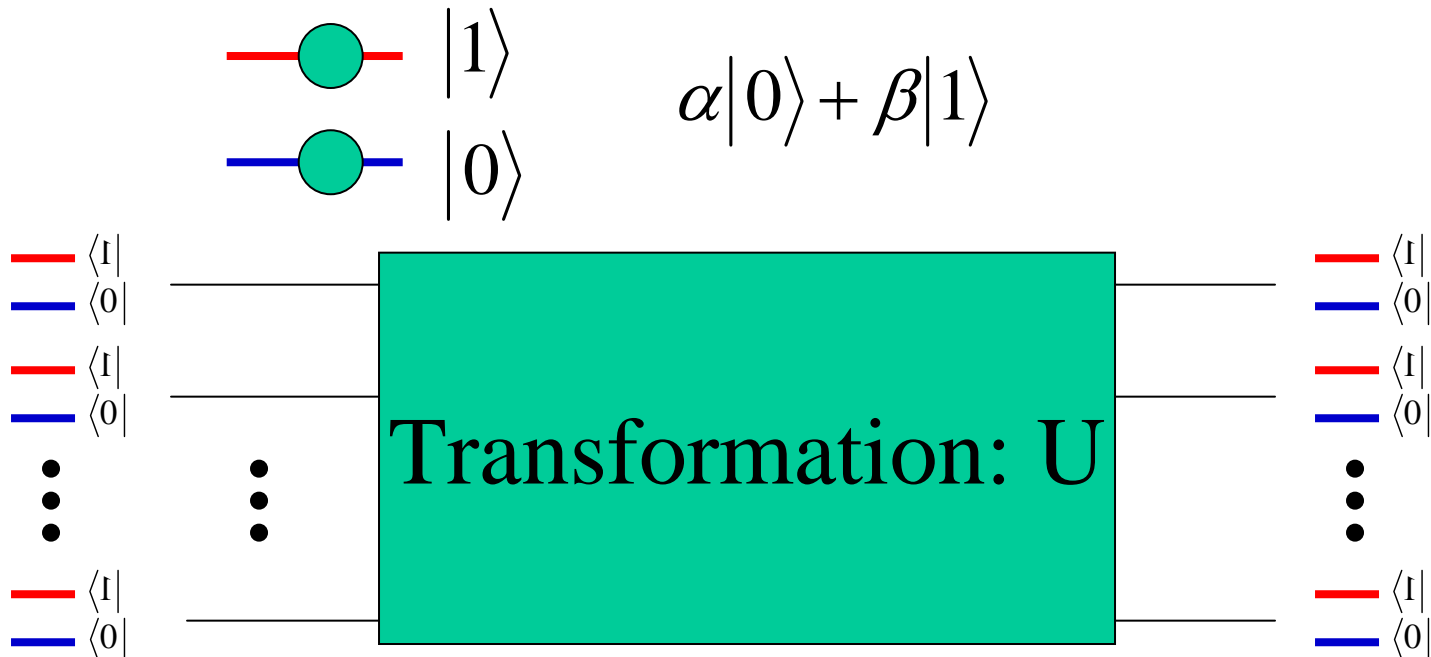
“ある種の問題を,古典 計算機と比べて非常に速く計算することができる”

大きい数の素因数分解

Example) $3125123787 \times 1654239211 \xrightarrow{\hspace{2cm}} 5169702307684212057$

「難しい」: 現代 RSA方式公開鍵暗号の安全性を保障

● Quantum Computer では Qubit を使う

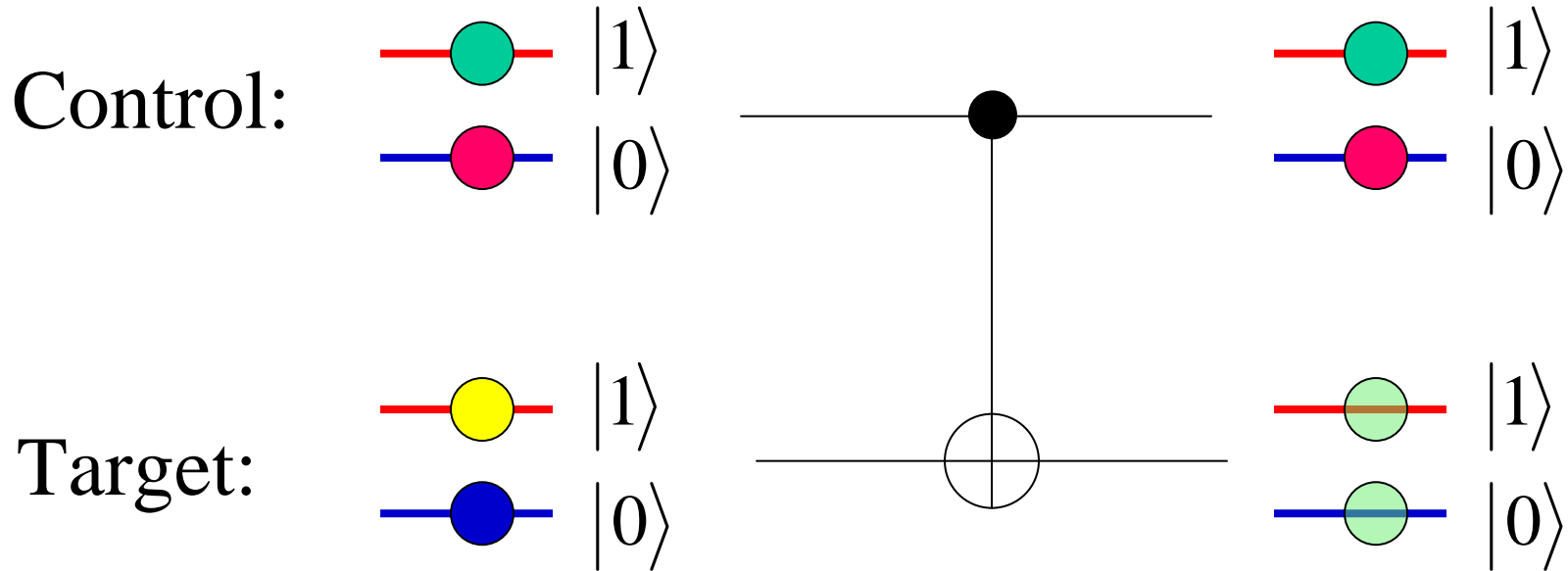


Criteria for Quantum Computation

DiVincenzo(2000)

1. よく定義された Qubitと、多数個への拡張性
2. Qubitの初期化
3. 長い寿命 (decoherence 時間)
4. 任意のゲート演算が可能
(単一Qubitの回転と C-NOT Operation)
5. 単一原子アドレッシングと測定

C-NOT Operation



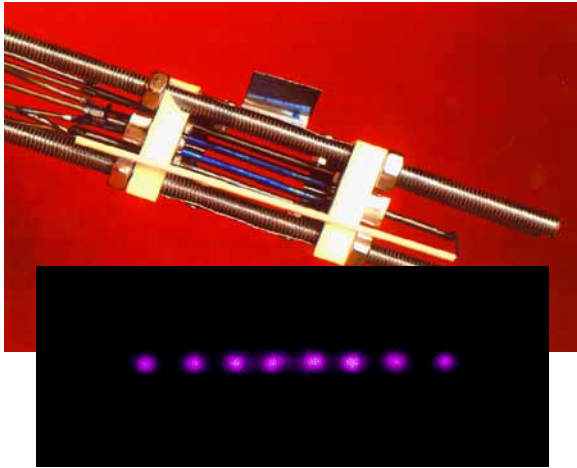
“Input”	Control	$ 1\rangle$	$ 1\rangle$	$ 0\rangle$	$ 0\rangle$
	Target	$ 1\rangle$	$ 0\rangle$	$ 1\rangle$	$ 0\rangle$
“Output”	Control	$ 1\rangle$	$ 1\rangle$	$ 0\rangle$	$ 0\rangle$
	Target	$ 0\rangle$	$ 1\rangle$	$ 1\rangle$	$ 0\rangle$

$$\frac{|0\rangle + |1\rangle}{\sqrt{2}} \otimes |0\rangle$$

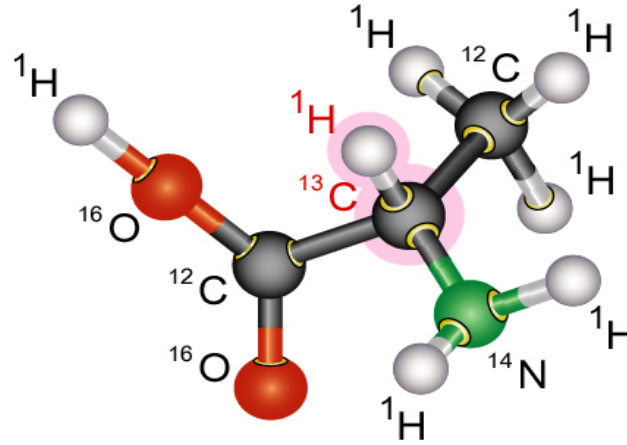
$$\Rightarrow \frac{|0\rangle \otimes |0\rangle + |1\rangle \otimes |1\rangle}{\sqrt{2}}$$

Candidates of Quantum Computers

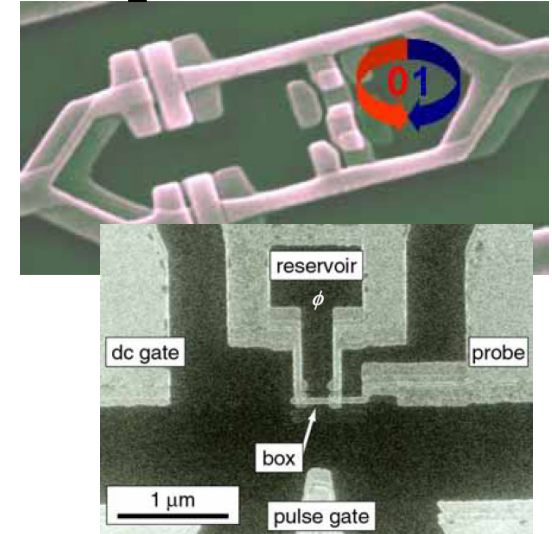
Ion Trap



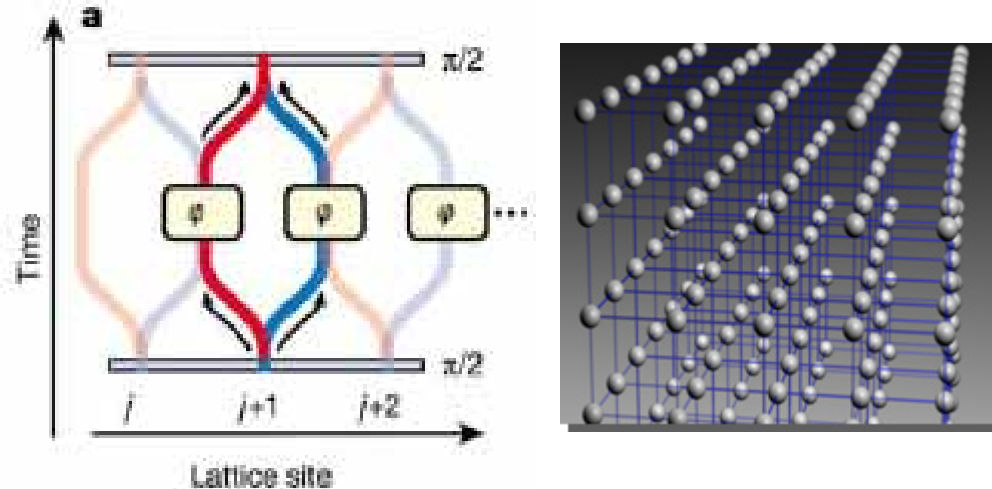
Nuclear Magnetic Resonance



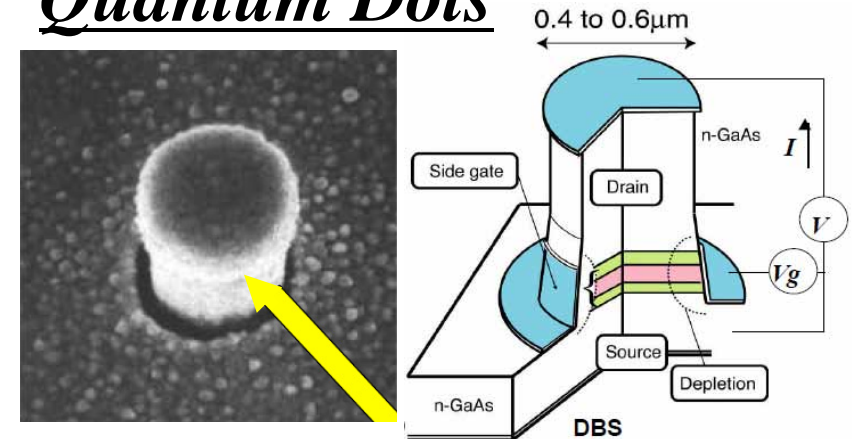
Superconductors



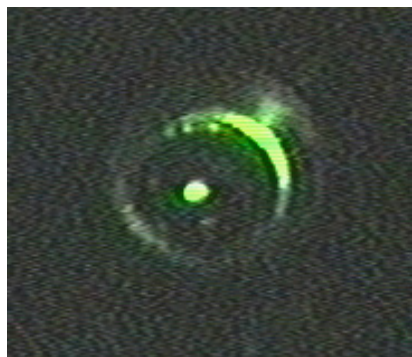
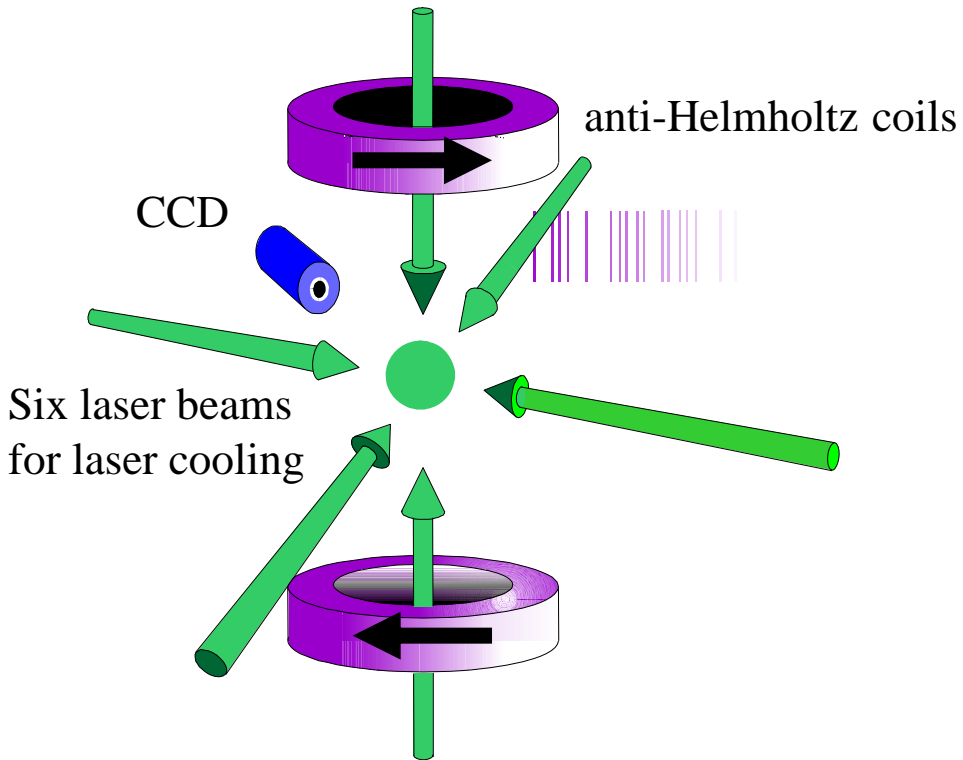
Cold Atoms in Optical Lattice



Quantum Dots



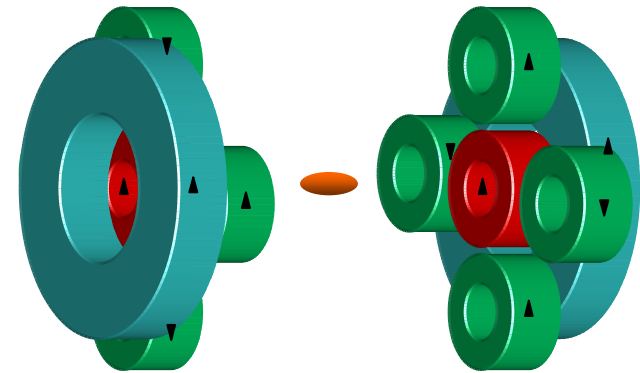
中性原子のレーザー冷却とトラップ



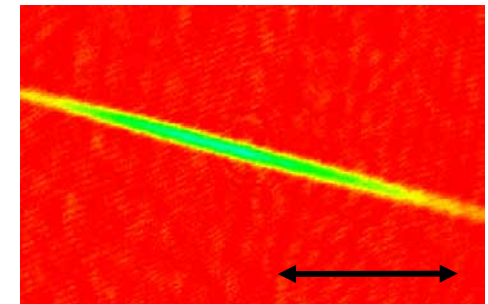
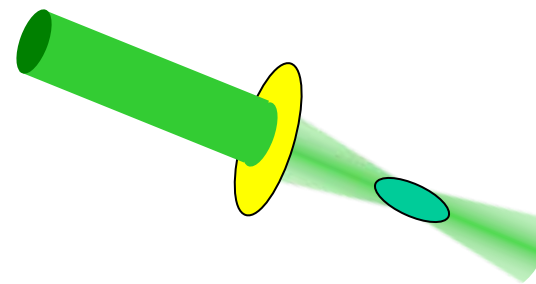
“レーザー冷却”

- Number: 10^7
- Density: $10^{11}/\text{cm}^3$
- Temperature: $10\mu\text{K}$

“磁気トラップ”



“光トラップ”



500 μm

Vertical
lattice #3

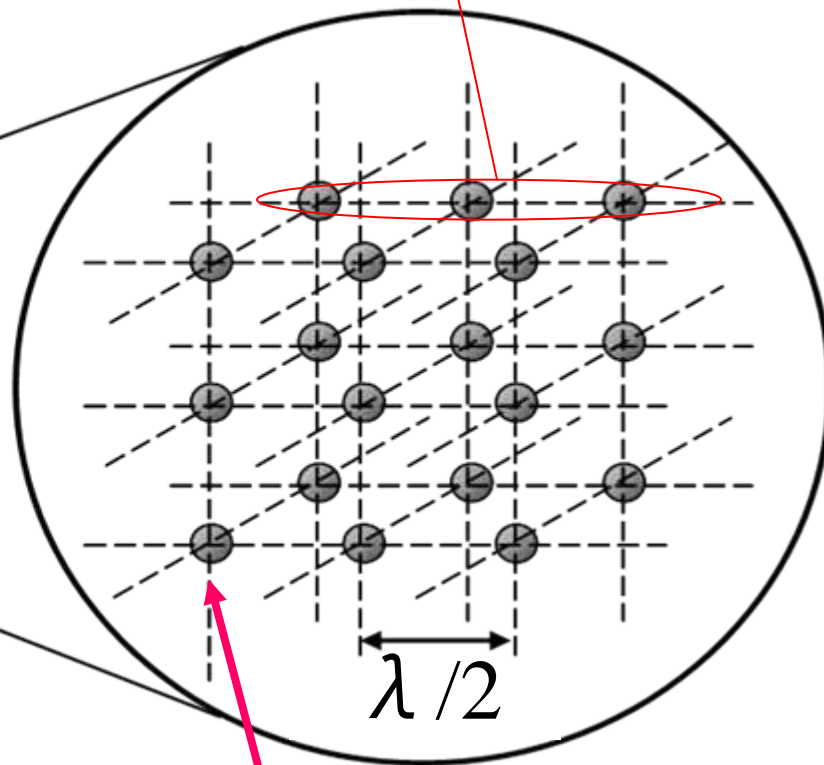
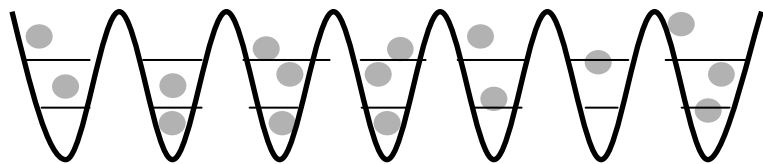
mirror

mirror

Horizontal
lattice #1

Horizontal
lattice #2

mirror



Laser beams:
wavelength: λ

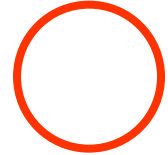
cold atom

“光格子：Optical Lattice”

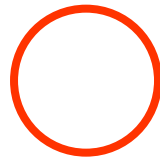
光格子Quantum Computation

DiVincenzo(2000)

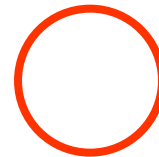
1. よく定義された Qubitと、多数個への拡張性



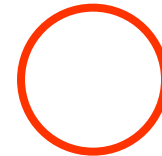
2. Qubitの初期化



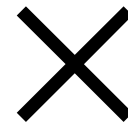
3. 長い寿命(decoherence 時間)



4. 任意のゲート演算が可能
(単一Qubitの回転と C-NOT Operation)



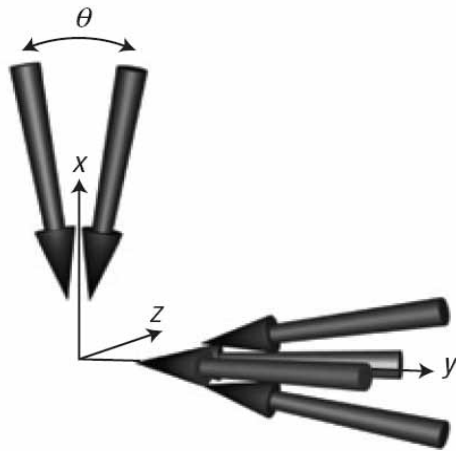
5. 単一原子アドレッシングと測定



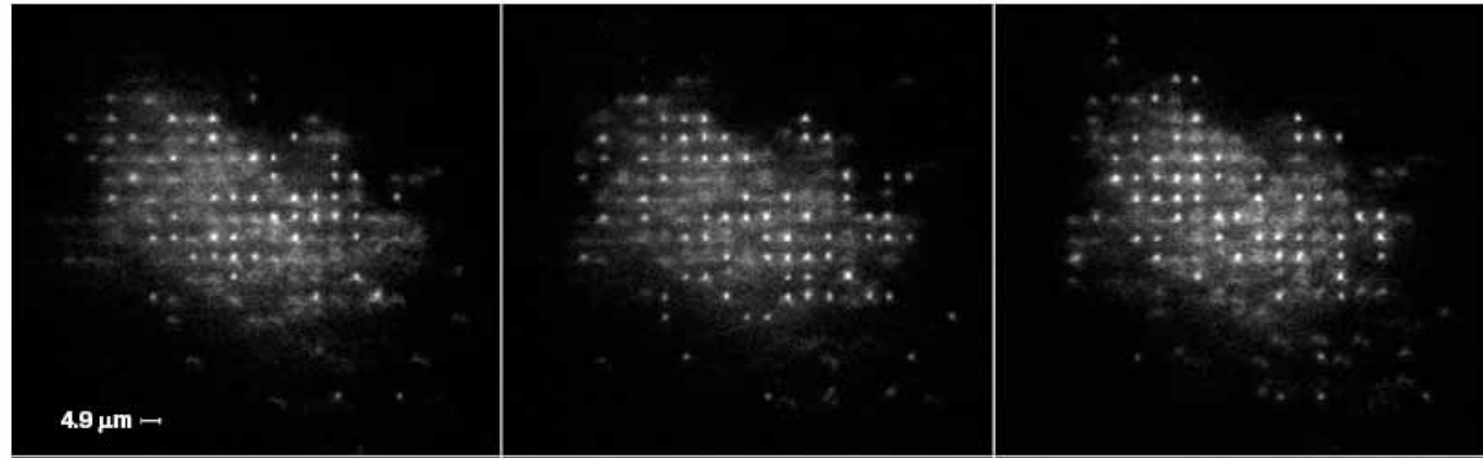
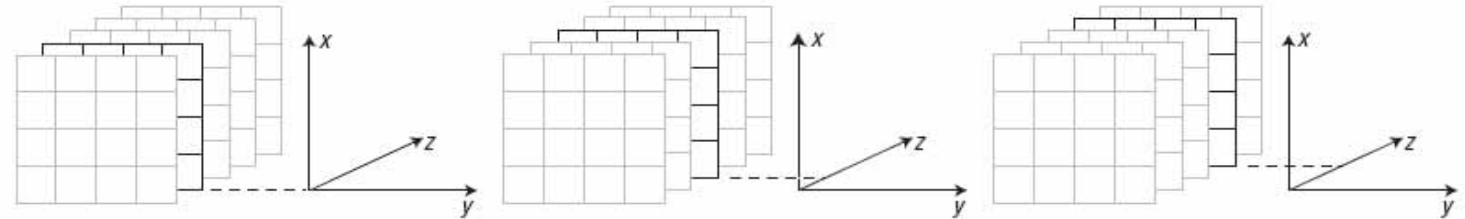
3D optical lattice中の単一原子の観測

[K. D. Nelson, X. Li, and D. S. Weiss, Nature physics 3, 556(2007)]

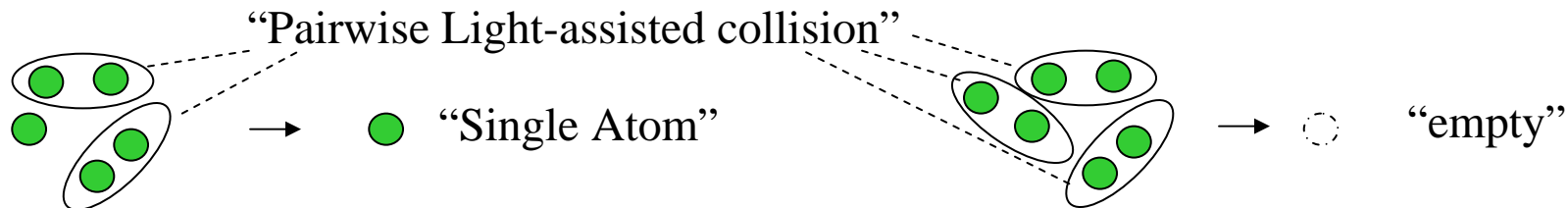
2.8 μm field of depth \rightarrow imaging only one lattice plane



$\lambda = 845.5 \text{ nm}$
(blue-detuned)



Cs atoms: MOT+3D lattice: initially 6 atoms per lattice site



イッテルビウム (^{171}Yb) 原子を用いた 光格子量子計算機

“electron spin qubit”

$$|0\rangle' \equiv |m_F = +3/2\rangle$$

$$|1\rangle' \equiv |m_F = -3/2\rangle$$

“量子演算”
大きい磁気モーメント $\mu = 3\mu_B$



磁場勾配: $10\text{G}/\text{cm}$

周波数分解能: 1kHz

空間分解能:

250nm

$$|m_I = +1/2\rangle$$

“nuclear spin qubit” $|m_I = -1/2\rangle$

“メモリー”: 長いコヒーレンス時間

1P_1 $\sim 5\text{ns}$

“光磁気共鳴
イメージング”

$\sim 10\text{mHz}$

3P_2

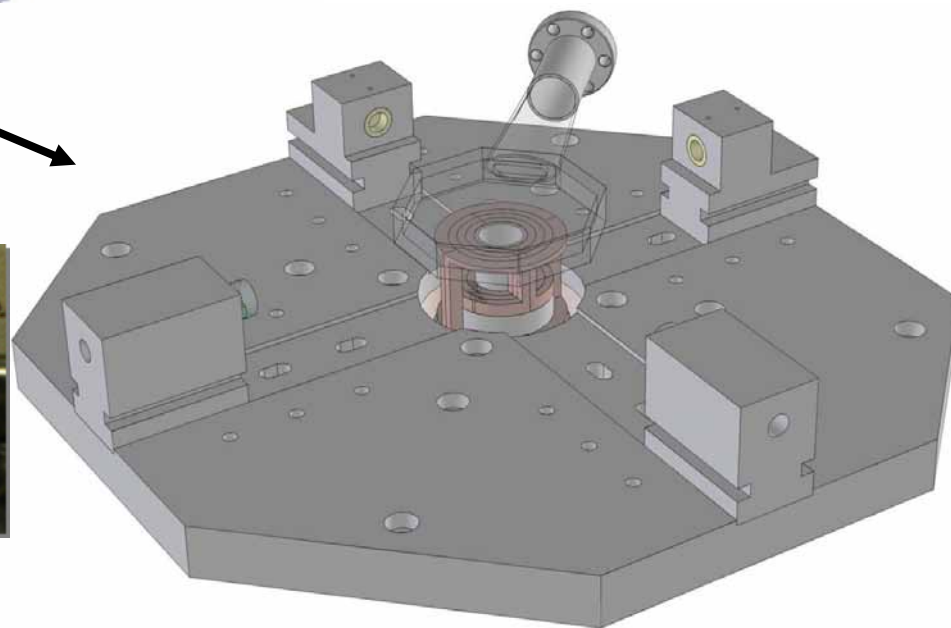
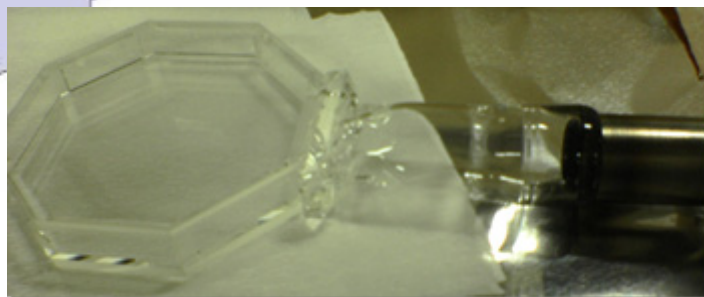
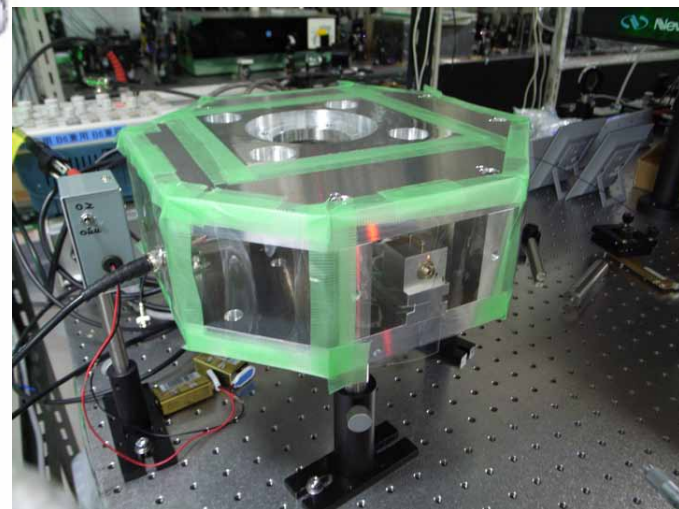
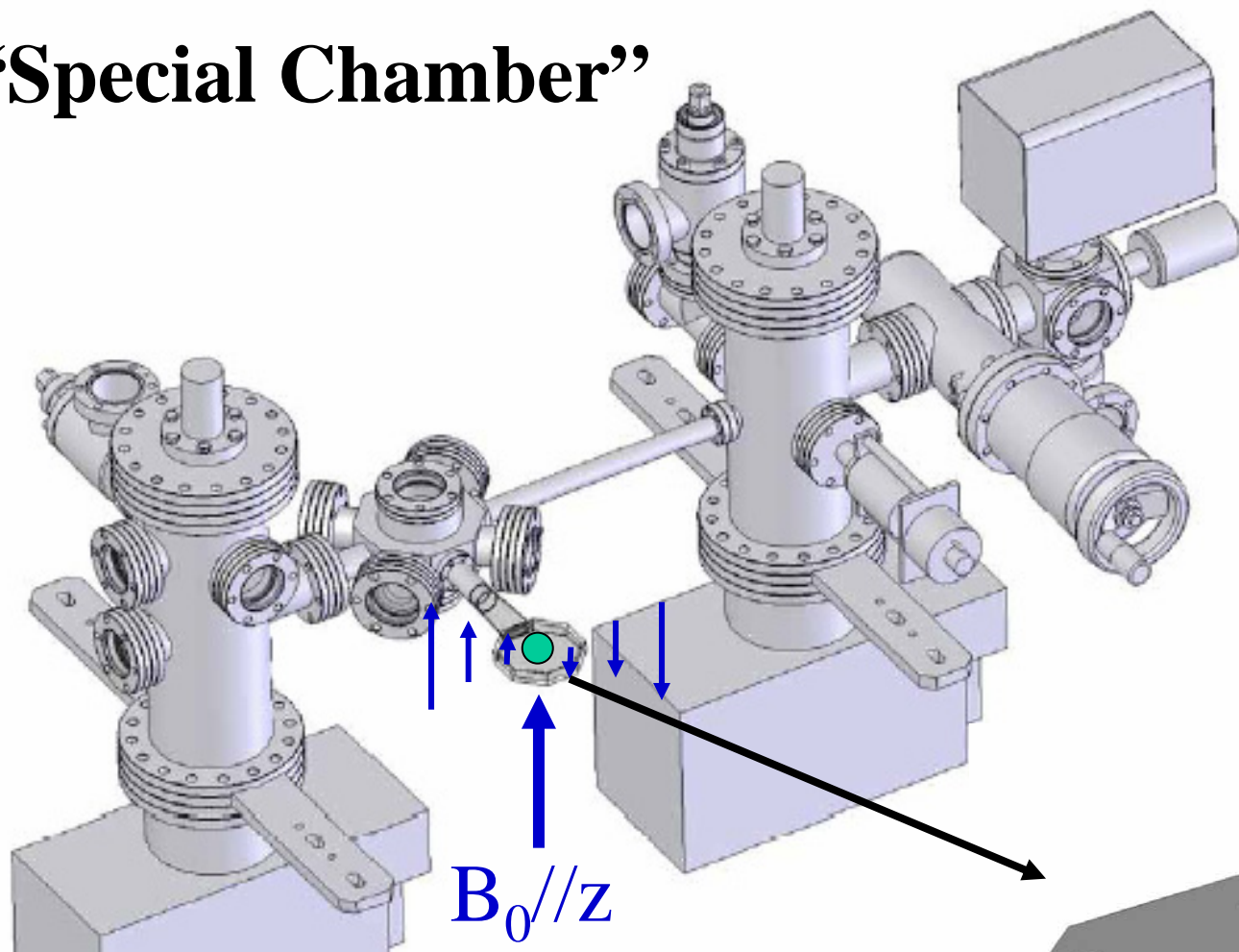
3P_1

3P_0

1S_0

“単一原子
検出”

“Special Chamber”



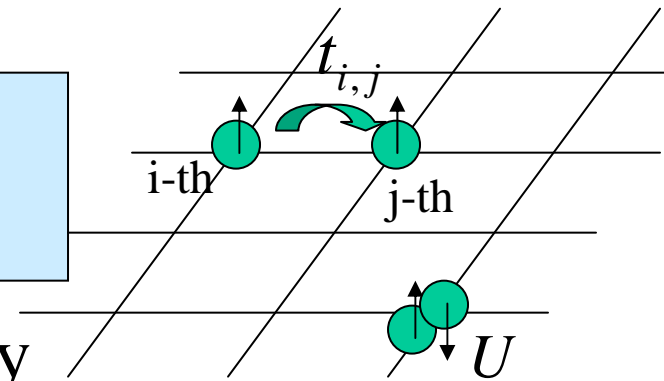
Quantum Simulation

“Interesting”

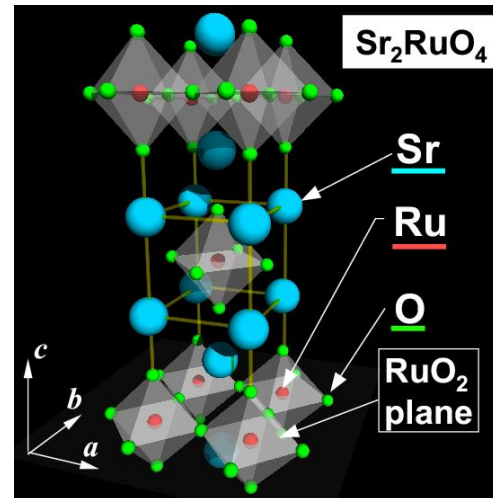
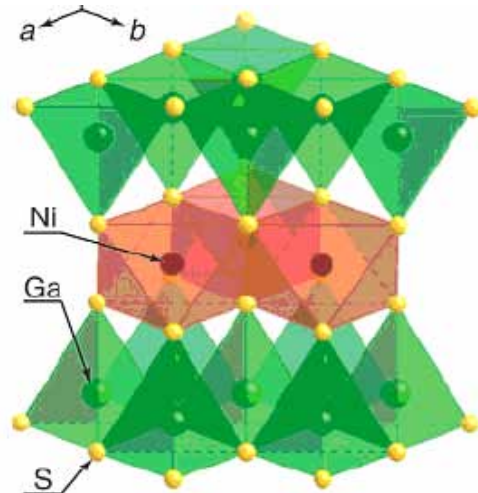
Many-body
Quantum System

Hubbard Model:

$$H = -t \sum_{\langle i,j \rangle} c_i^\dagger c_j + U \sum_i n_{i\uparrow} n_{i\downarrow}$$



→ Magnetism, Superconductivity



Quantum Simulation

“Interesting”

Many-body
Quantum System

Hubbard Model:

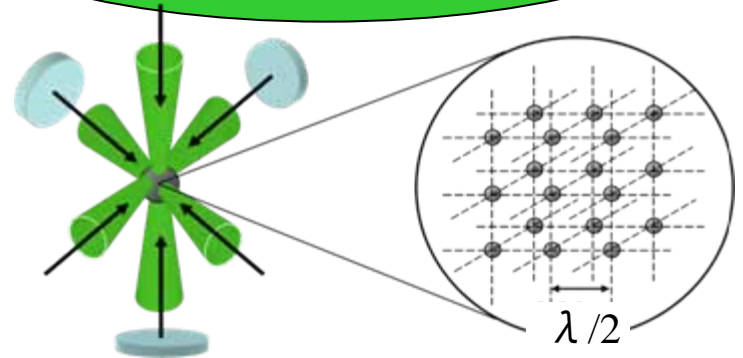
$$H = -t \sum_{\langle i,j \rangle} c_i^\dagger c_j + U \sum_i n_{i\uparrow} n_{i\downarrow}$$

“Controllable”

Many-body
Classical System

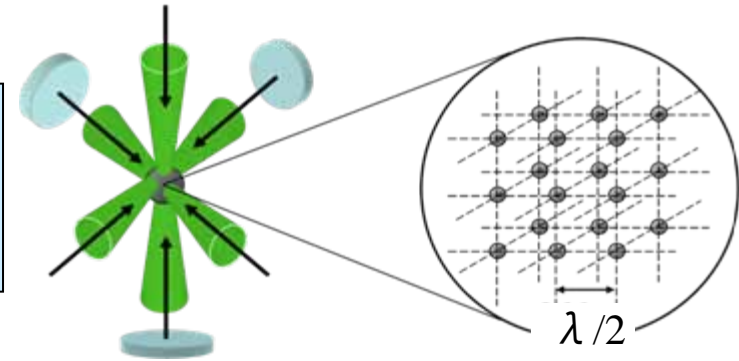
Many-body
Quantum System

“HARD”



Quantum Simulation of Hubbard Model using “Cold Atoms in Optical Lattice”


$$H = -t \sum_{\langle i,j \rangle} c_i^+ c_j + U \sum_i n_{i\uparrow} n_{i\downarrow}$$



$$t = E_R (2 / \sqrt{\pi}) \xi^3 \exp(-2\xi^2) \quad U = E_R a_s k \sqrt{8 / \pi} \xi^3$$

$$\xi \equiv (V_o / E_R)^{1/4}, \quad E_R \equiv (\hbar k)^2 / 2m, \quad a_s : \text{scattering length}$$

Controllable Parameters

hopping between lattice sites	: t		lattice potential	: V_o
On-site interaction	: U		scattering length	: a_s
filling factor (e- or h-doping)	: n		atom density	: n

No impurity, No lattice defects, Various geometry

Bose-Hubbard Model:

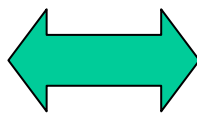
“Superfluid - Mott-insulator Transition”

$$H = -J \sum_{\langle i,j \rangle} a_i^+ a_j + \frac{U}{2} \sum_i n_i(n_i - 1)$$

$$|\Psi_{SF}\rangle \propto \left(\sum_{i=1}^M a_i^+ \right)^N |0\rangle$$

$$|\Psi_{MI}\rangle \propto \prod_{i=1}^M (a_i^+)^n |0\rangle$$

$J \gg U$



$J \ll U$

“Superfluid”

“Mott Insulator”

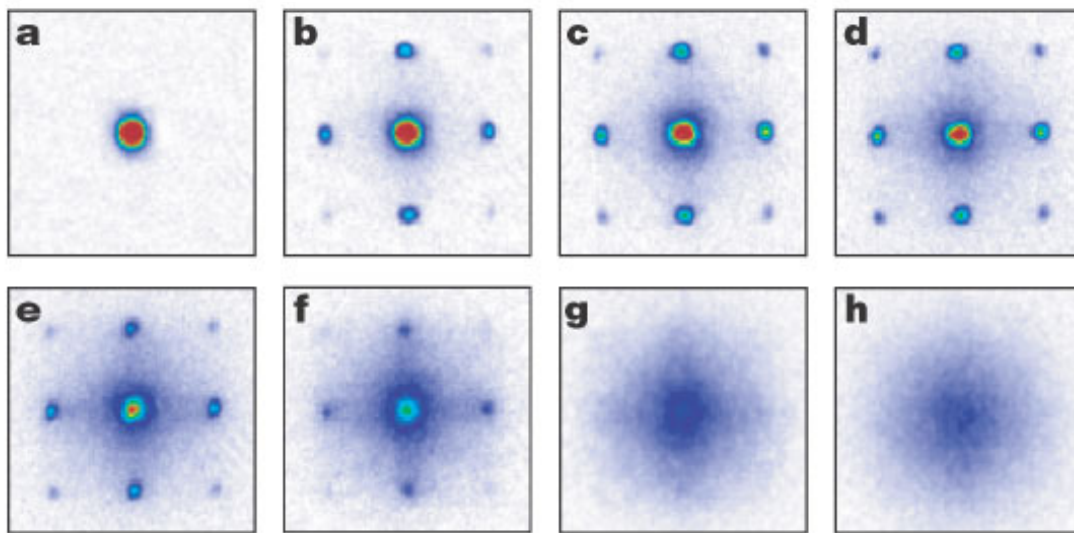
No lattice

$V_0 / E_R = 3$

7

10

^{87}Rb BEC
 $N = 2 \times 10^5$



$U/t \approx 6 \times 5.8$



13

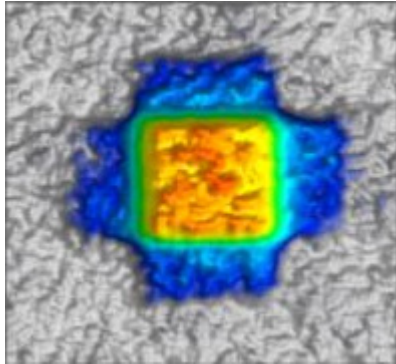
14

16

20

[M. Greiner, *et al.*,
Nature 415,39
(2002)]

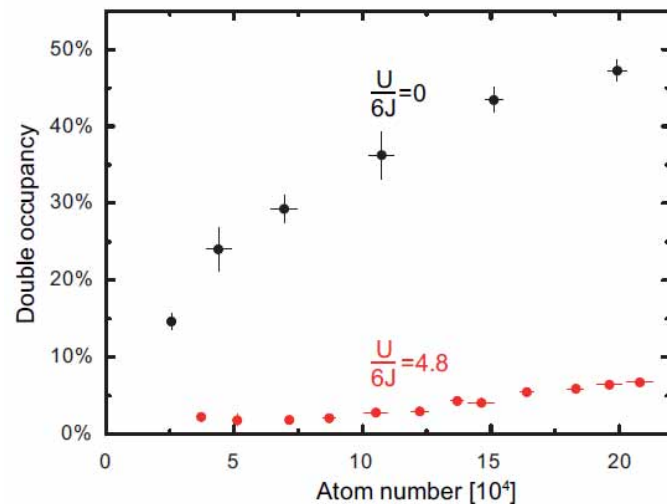
Fermions in Optical Lattice



“Fermi-Surfaceの観測”

[M. Köhl, et al, PRL94, 080403 (2005)]

“A Mott insulator of ^{40}K atoms in an optical lattice”



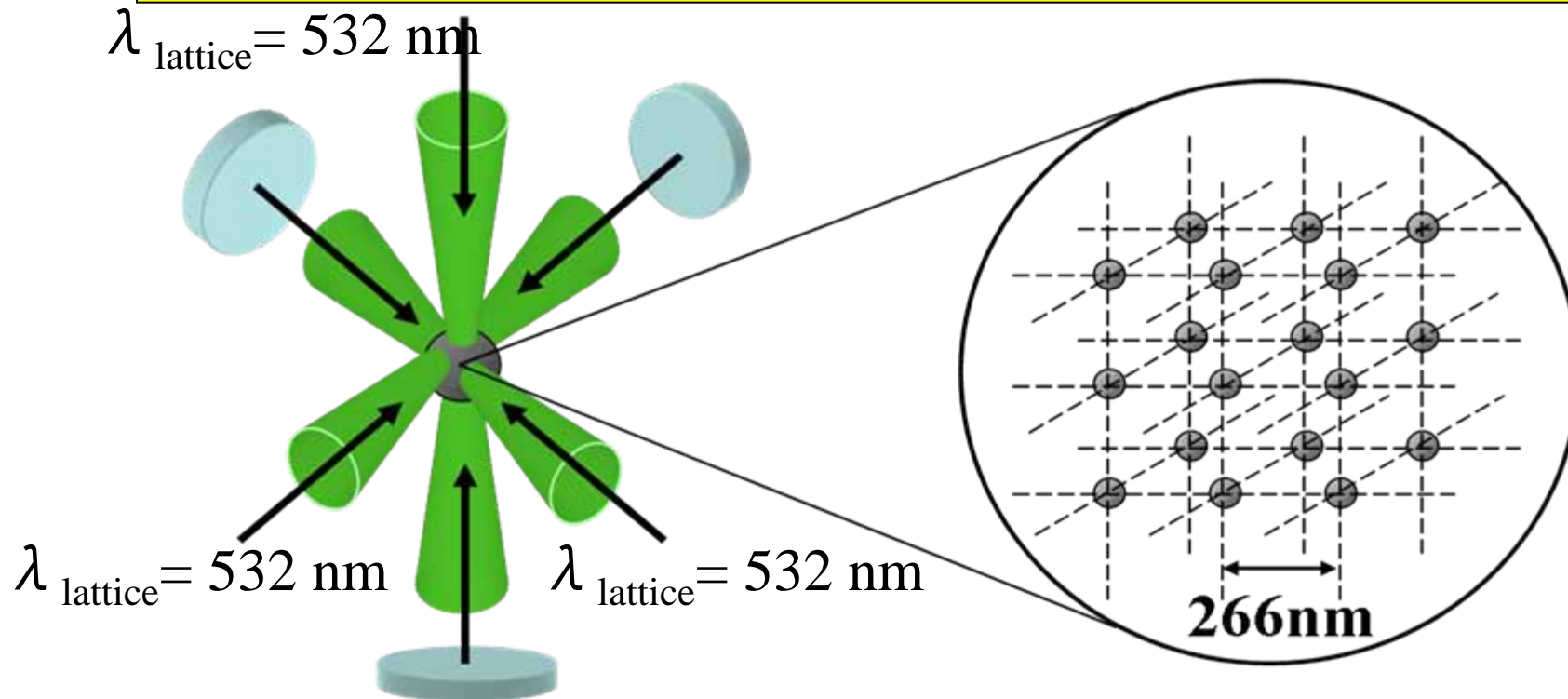
[R. Jördens *et al.*, Nature **455**, 204 (2008)]

[U. Schneider, *et al.*, arXiv:0809.1464]

Bose-Fermi-Hubbard Model for a 3D optical lattice

$$H = -t_B \sum_{\langle i,j \rangle} a_i^\dagger a_j + \frac{U_{BB}}{2} \sum_i n_{Bi} (n_{Bi} - 1) - t_F \sum_{\langle i,j \rangle} c_i^\dagger c_j + U_{BF} \sum_i n_{Bi} n_{Fi}$$

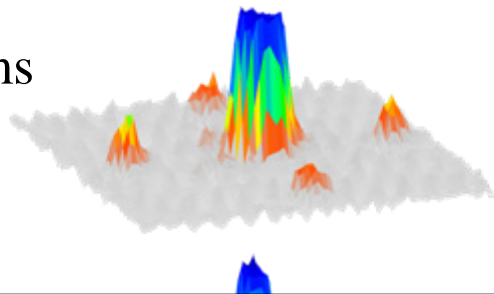
^{174}Yb (Boson) + ^{173}Yb (Fermion): $a_{BF} = 7.3 \text{ nm}$



^{174}Yb (Boson)

BEC, $N_B \sim 12000 \pm 2000$

TOF10 ms



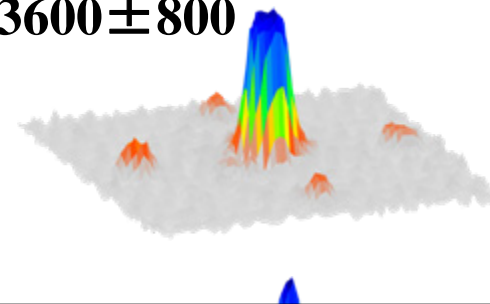
$$V = 5E_R$$

^{174}Yb (Boson) + ^{173}Yb (Fermion)

BEC, $N_B \sim 9000 \pm 1000$

Fermion, $T/T_F \sim 0.6$,

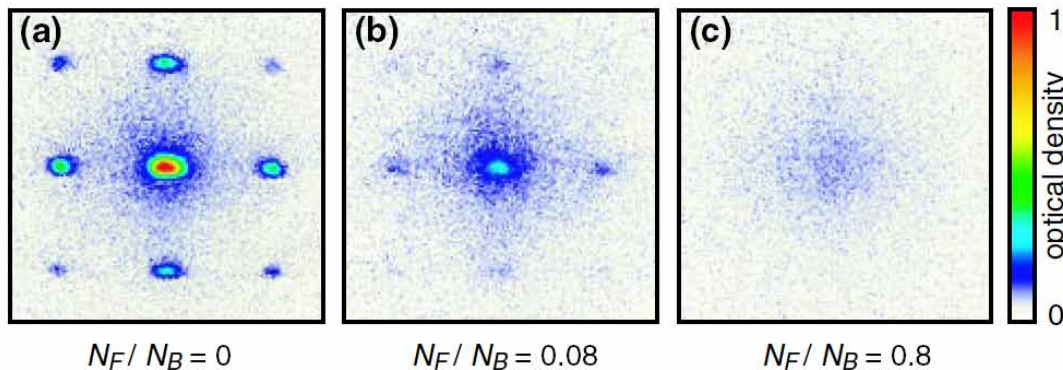
$N_F \sim 3600 \pm 800$



[K. Günter, et al, PRL96, 180402 (2006)]

[S. Ospelkaus, et al, PRL96, 180403 (2006)]

“ **^{40}K (Fermion)- ^{87}Rb (Boson)**” $a_{BF} = -10.9 \text{ nm}$



Poster 36:素川靖司 41:田家慎太郎

Summary

**Various Quantum Information Systems:
classification by system size and complexity**

**Optical Lattice Quantum Computer
proposal of Yb-based optical lattice quantum computer**

**Quantum Simulation of Hubbard Model
alkali and Yb atoms quantum simulator**

**Quantum Metrology
improvement of optical lattice clock by spin-squeezing**

Quantum Optics Group Members



T. Tsujimoto T. Fukuhara H. Kakiuchi H. Wayama M. Okano Y. Saito

S. Kato K. Doi S. Uetake Y. Takasu S. Sugawa H. Hara

R. Namiki Y.T. M. Muramatsu H. Shimizu T. Takano S. Taie